



# БИООРГАНИЧЕСКАЯ ХИМИЯ

том 6 • №12 • 1980

УДК 547.963.32.07

## ПОЛУЧЕНИЕ ОЛИГОДЕЗОКСИРИБОНУКЛЕОТИДНЫХ МАТРИЦ ДЛЯ ИЗУЧЕНИЯ СИНТЕЗА ПОЛИАДЕНИЛОВОЙ КИСЛОТЫ, ОСУЩЕСТВЛЯЕМОГО РНК-ПОЛИМЕРАЗОЙ *E. COLI*

*Бочарова Т. Н., Андреева Л. А.*

*Институт молекулярной генетики Академии наук СССР, Москва*

*Ларионов О. А.*

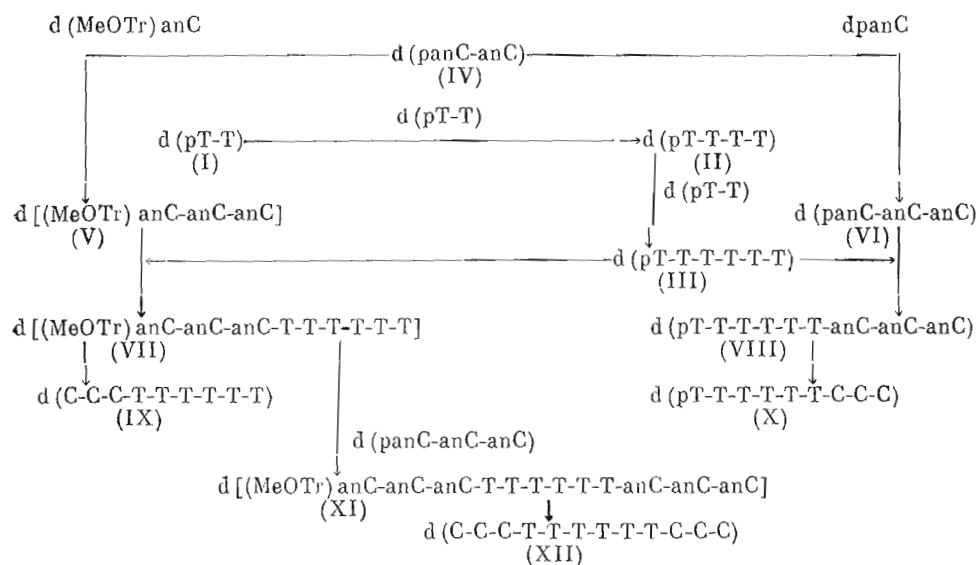
*Всесоюзный научно-исследовательский институт генетики и селекции  
промышленных микроорганизмов, Москва*

Фосфодиэфирным методом осуществлен химический синтез олигонуклеотидов:  $d(pT-T-T-T-T-T)$ ,  $d(pT-T-T-T-T-C-C-C)$ ,  $d(C-C-C-T-T-T-T-T-T)$  и  $d(C-C-C-T-T-T-T-T-T-C-C-C)$ . Полученные олигонуклеотиды, а также дефосфорилированные по 5'-положению первые два соединения были использованы в качестве матриц для изучения синтеза полиадениловой кислоты, осуществляемого РНК-полимеразой *E. coli*. Показано, что скорость синтеза poly(A) возрастает с увеличением размера матрицы в следующем порядке:  $d(T)_6 < d(pT)_6 < d(T_6C_3) < d(pT_6C_3) < d(C_3T_6) < d(C_3T_6C_3)$ .

Как известно, ДНК-зависимая РНК-полимераза может осуществлять синтез длинной цепи полиадениловой кислоты на коротких олигодезокситимидиловых последовательностях ДНК-матрицы [1–3]. Ранее было показано, что бактериальной РНК-полимеразе *E. coli* для заметного синтеза poly(A) необходима последовательность из шести дезокситимидиловых остатков, в то время как фермент фага T7 синтезировал poly(A) уже на  $d(T)_3$  [4, 5]. Кроме того, при использовании матрицы  $d(A_3T_3A_3)$  выяснилось, что скорость синтеза poly(A) РНК-полимеразой фага T7 резко повышается с увеличением общей длины матрицы за счет нетранскрибируемых нуклеотидов. Бактериальному ферменту было недостаточно последовательности  $d(T)_3$  независимо от общих размеров матрицы. Поэтому мы решили провести дальнейшее изучение синтеза poly(A) в системе РНК-полимеразы *E. coli* с использованием других матриц, на которых заведомо должен идти синтез. С этой целью химическим путем были получены следующие олигонуклеотиды:  $d(pT-T-T-T-T-T)$ ,  $d(pT-T-T-T-T-C-C-C)$ ,  $d(C-C-C-T-T-T-T-T)$  и  $d(C-C-C-T-T-T-T-T-C-C-C)$ . Синтез проводили фосфодиэфирным методом [6] с применением триизопропилбензольсульфохлорида в качестве конденсирующего агента.

Схема синтеза указанных олигонуклеотидов предусматривала получение ключевого соединения — гексануклеотида тимидиловой кислоты (III) (см. схему) и последующее наращивание цепи с 5'- или 3'-конца с использованием тринуклеотидов (V) и (VI).

Выбор схемы синтеза определялся стремлением создать благоприятные условия для разделения компонентов реакционных смесей и неоднократного использования синтезированных блоков. Так, динуклеотид (IV) применяли при получении тринуклеозиддиfosфата (V) и тринуклеозидтри-



an — анионил

фосфата (VI), а гексануклеотид (III) — при синтезе соединений (VII) и (VIII).

Первым этапом синтеза было получение динуклеотида  $d(pT-T)$ . В реакции использовали избыток нуклеотидного компонента, выход продукта составил 70%.

Тетратимилилат (II) получен с выходом 30%, а гексатимилилат (III) — с выходом 41% (табл. 1).

Синтез блоков (V) и (VI) осуществляли с использованием одного и того же динуклеотида (IV), который являлся в первом случае нуклеотидным, а во втором — нуклеозидным компонентом. При получении метокситритилированного тринуклеозиддифосфата (V) был взят избыток нуклеозидного компонента как более доступного. Реакционную смесь разделяли методом избирательной экстракции тритильсодержащих нуклеотидов органическими растворителями из разбавленных растворов триэтиламмонийбикарбонатного буфера [7]. В данном случае этот метод особенно эффективен.

Таблица 1  
Межнуклеотидные конденсации

Р-компонент		ОН-компонент		Конд. агент, ммоль	Время, ч	Продукт конденсации	Выход, %
структура	ммоль	структура	ммоль				
$dPT(\text{Ac})$	14	$d^3(\text{CNET})pT$	7,5	52	9	(I)	70
$d[pT-T(\text{Ac})]$	0,4	$d[(\text{CNET})pT-T]$	1,3	3,5	8	(II)	30
$d[pT-T-T-T(\text{Ac})]$	0,12	$d[(\text{CNET})pT-T]$	0,45	1,0	8	(III)	41
$d\text{panC}(\text{Ac})$	2,1	$d(\text{CNET})\text{panC}$	0,88	5,1	13	(IV)	50
$d[\text{panC-anC}(\text{Ac})]$	0,5	$d(\text{MeOTr})\text{anC}$	1,5	1,5	8	(V)	54
$d[\text{panC-anC}(\text{Ac})]$	0,41	$d(\text{CNET})\text{panC}$	0,51	1,75	10	(VI)	27
$d[pT-T-T-T-T-T(\text{Ac})]$	0,05	$d[(\text{MeOTr})\text{anC-anC-anC}]$	0,15	0,7	8	(VII)	28
$d[\text{panC-anC-anC}(\text{Ac})]$	0,046	$d[(\text{CNET})pT-T-T-T-T]$	0,027	0,3	8	(VIII)	15
$d[\text{panC-anC-anC}(\text{Ac})]$	0,026	$d[(\text{MeOTr})\text{anC-anC-anC-T-T-T-T-T}]$	0,0016	0,23	8	(XI)	28

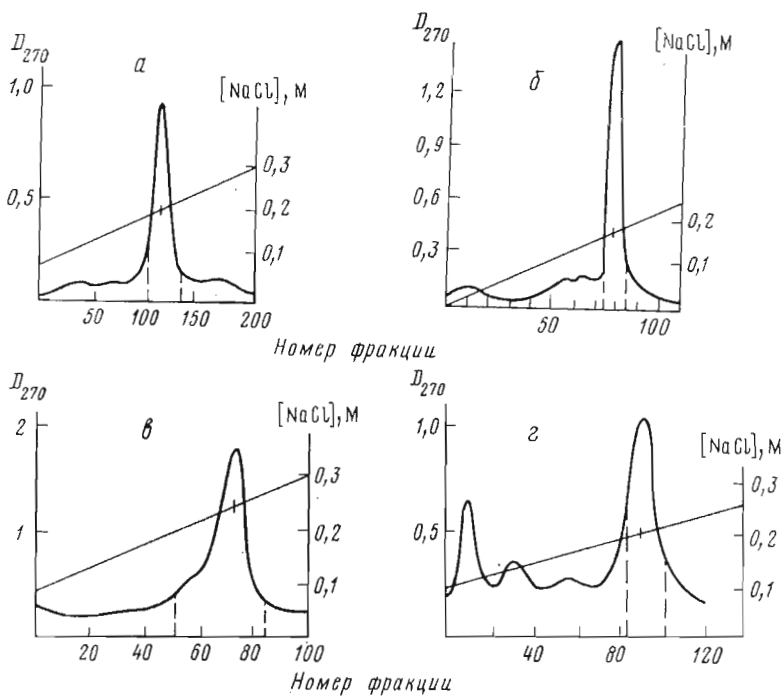


Рис. 1. Хроматография нонануклеотидов (IX) и (X) на DEAE-целлюлозе ( $\text{Cl}^-$ ,  $0.9 \times 30$  см) в градиенте  $\text{NaCl}$  в 8 М мочевине, скорость элюции 1 мл/мин, объем фракции 4 мл: *а* — выделение нонануклеотида (IX) в 0,03 М трис- $\text{HCl}$ , рН 7,4 (51 ОЕ<sub>270</sub>); *б* — повторная хроматография нонануклеотида (IX) при рН 3,5 (26 ОЕ<sub>270</sub>); *в* — выделение нонануклеотида (X) в 0,03 М трис- $\text{HCl}$ , рН 7,4 (79 ОЕ<sub>270</sub>); *г* — повторная хроматография нонануклеотида (X) при рН 3,5 (23 ОЕ<sub>270</sub>)

вен, так как по сравнению с нуклеозидом полученный тринуклеотид обладает значительно большей гидрофильностью. Выход соединения (V) составил 54%, причем выделение его заняло гораздо меньше времени, чем выделение тринуклеотида (VI) с помощью ионообменной хроматографии. Соединение (VI) получено по обычной методике с выходом 27%.

Синтез нонапуклеотидов (VII) и (VIII) состоял в парашивании цепи гексатимидилата (III) с 5'- или 3'-конца с помощью блоков (V) и (VI). В первом случае синтез проводился с использованием трехкратного избытка нуклеозидного компонента как более доступного, а во втором — по той же причине, с избытком нуклеотидного компонента (см. табл. 1). Выходы соединений (VII) и (VIII) составили 28 и 15% соответственно.

Додекануклеотид (XI) получен с выходом 28% из нонануклеотида (VII) и 16-кратного избытка тринуклеотида (VI).

Выделение и очистку полученных защищенных олигонуклеотидов (VII), (VIII) и (XI) проводили с использованием ионообменной хроматографии на DEAE-целлюлозе в 8 М мочевине при рН 7,4 в градиенте концентрации  $\text{NaCl}$ . Далее олигонуклеотиды подвергали аммонолизу для удаления N-ацильной группы, а затем в случае нонапуклеотида (VII) и додекануклеотида (XI) — гидролизу 80% уксусной кислотой для отщепления монометокситритильного остатка. Незащищенные олигонуклеотиды (IX), (X) и (XII) хроматографировали в 8 М мочевине при рН 7,4 (рис. 1*a*, *в*, 2*a*). Повторную хроматографию этих соединений проводили при пониженном значении рН (3,5), т. е. в условиях более тщательного разделения (см. рис. 1*б*, *г*, 2*б*). Для соединений (IX) и (XII) провели также обращенную-фазовую хроматографию (рис. 3).

Все полученные олигонуклеотиды идентифицировали на основании их спектральных свойств и хроматографических характеристик, а также по

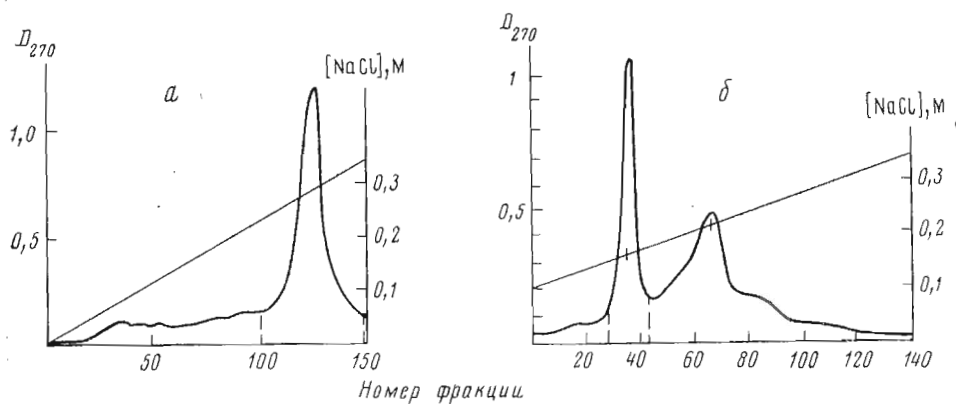


Рис. 2. Хроматография додекануклеотида (XII) на DEAE-целлюлозе ( $\text{Cl}^-$ ,  $0,9 \times 30$  см) в градиенте  $\text{NaCl}$  в 8 М мочевине, скорость элюции 1 мл/мин, объем фракции 3 мл: *а* – выделение додекануклеотида (XII) в 0,03 М три- $\text{HCl}$ , рН 7,4 (50  $\text{OE}_{270}$ ); *б* – повторная хроматография додекануклеотида (XII) при рН 3,5 (15  $\text{OE}_{270}$ )

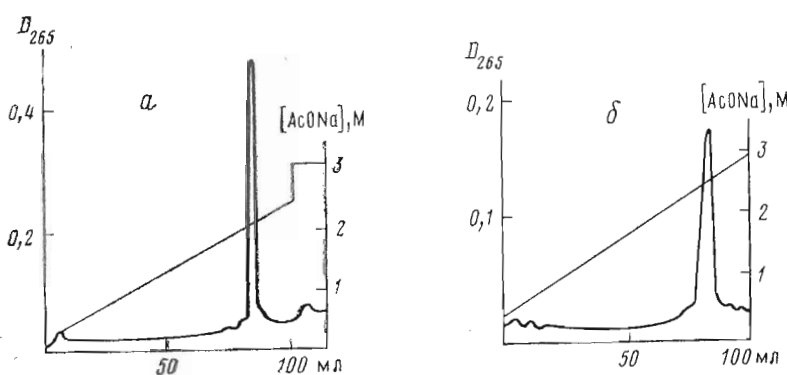


Рис. 3. Ионообменная обращенно-фазовая хроматография на колонке RPC-5 ( $0,8 \times 11$  см) в градиенте концентрации  $\text{AcONa}$ , рН 4,3, скорость элюции 15 мл/ч: *а* – nonануклеотид (IX); *б* – додекануклеотид (XII)

данным полного экзонуклеазного гидролиза (табл. 2). Структура соединений подтверждена анализом по методу нуклеотидных карт [8] (рис. 4), проведенным в лаборатории химии гена ИБХ АН СССР им. М. М. Шемякина.

Матричную активность синтетических олигонуклеотидов исследовали в условиях синтеза poly(A) РНК-полимеразой *E. coli* при добавлении только АТР. Кроме уже перечисленных матриц, мы использовали также дефосфорилированные по 5'-положению гексатимидал (III) и nonануклеотид (X) (табл. 3). Наличие фосфатной группы на 5'-конце олигонуклеотида ускоряет синтез poly(A) в ~1,5–2 раза. Эти данные согласуются с результатами работ [9, 10], в которых было обнаружено, что при отсутствии концевых фосфатов уменьшается матричная активность олигонуклеотида. Авторы предположили, что в этом случае оказывается уменьшение не только размера матрицы, но и сродства олигонуклеотида к РНК-полимеразе [10].

Из сравнения результатов, полученных для соединений  $d(T_6)$ ,  $d(T_6C_3)$ ,  $d(C_3T_6)$  и  $d(C_3T_6C_3)$ , видно, что для бактериального фермента сохраняется та же закономерность роста скорости синтеза poly(A) с увеличением общей длины матрицы за счет несчитываемых нуклеотидов, которую мы наблюдали при исследовании фермента фага T7 [4, 5]. Так, при увеличении длины матрицы в 2 раза без изменения размера транскрибуируемого участка [ср.  $d(T)_6$  и  $d(C_3T_6C_3)$ ] скорость синтеза poly(A) возрастает

Таблица 2

## Нуклеотидный состав полученных соединений

Олигонуклеотид	Состав			
	dpT	dT	dpG	dG
d(pT-T) (I)	1	1,07		
d(pT-T-T-T) (II)	3	1		
d(pT-T-T-T-T-T) (III)	4,8	1		
d(pC-C)			0,9	1
d(pC-C-C)			1,89	1
d(C-C-C-T-T-T-T-T-T) (IV)	3	1 *		
d(pT-T-T-T-T-C-C-C) (X)	1,92	1		
d(C-C-C-T-T-T-T-T-C-C-C) (XII)	1,29	1		

\* Определялось только соотношение нуклеотидов.

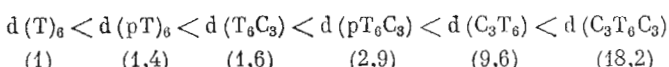
Таблица 3

Влияние размеров матричных олигонуклеотидов и немеченого GTP на синтез poly(A) РНК-полимеразой *E. coli*\*

Матрица	Включение [ <sup>3</sup> H]AMP, %	
	без GTP	с добавлением GTP
d(T) <sub>6</sub>	0,85	0,75
d(pT) <sub>6</sub>	1,22	—
d(T <sub>6</sub> C <sub>3</sub> )	1,35	0,51
d(pT <sub>6</sub> C <sub>3</sub> )	2,44	1,21
d(C <sub>3</sub> T <sub>6</sub> )	8,16	4,86
d(C <sub>3</sub> T <sub>6</sub> C <sub>3</sub> )	15,48	29,2
T2-ДНК денатурированная	100	62,7

\* Инкубировали как описано в «Экспериментальной части». За 100% принято включение [<sup>3</sup>H]AMP с матрицей — денатурированной T2-ДНК. При расчетах радиоактивность проб без матрицы вычтена. Приведены средние данные двух опытов.

примерно в 18 раз. Из полученных данных также следует, что ферменту небезразлично, с какой стороны от тимидиловой последовательности находится нетранскрибуемый тринуклеотид цитидиловой кислоты: расположение на 5'-конце [d(C<sub>3</sub>T<sub>6</sub>)] предпочтительнее, чем на 3'-конце [d(T<sub>6</sub>C<sub>3</sub>)]. Таким образом, полученные олигодезоксирибонуклеотиды по их матричной активности можно расположить в следующий ряд:



Предполагается, что образование poly(A) на коротких матрицах может происходить по двум механизмам: «рейтеративным» синтезом на одной и той же молекуле олигонуклеотида [2] или синтезом с движением вдоль олигонуклеотидов, последовательно подстраивающихся в РНК-полимеразу [11, 12]. На всех исследованных матрицах полимеризация [<sup>3</sup>H]ATP тормозится добавлением немеченого GTP в количестве, эквимольном количеству АТР. Исключение составляет только матрица d(C<sub>3</sub>T<sub>6</sub>C<sub>3</sub>), на которой GTP значительно стимулирует включение [<sup>3</sup>H]AMP. Стимуляция GTP была подтверждена в опыте с другими препаратами [<sup>3</sup>H]ATP и GTP: без GTP на d(C<sub>3</sub>T<sub>6</sub>C<sub>3</sub>) включение [<sup>3</sup>H]AMP составило 576 имп/мин, а при добавлении GTP — 2069 имп/мин (фон везде вычен). Можно предполагать, что разное влияние GTP на включение [<sup>3</sup>H]AMP в РНК-продукт на

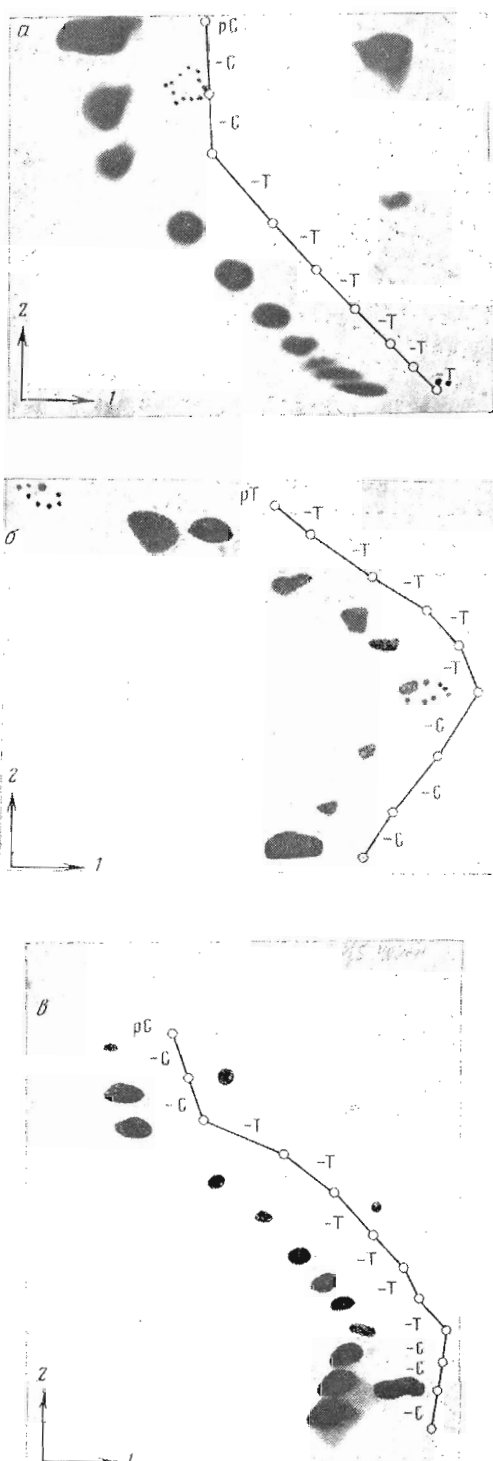


Рис. 4. Двумерное разделение продуктов частичного гидролиза олигонуклеотидов  $[^{32}\text{P}]$ (IX) (а),  $[^{32}\text{P}]$ (X) (б) и  $[^{32}\text{P}]$ (XII) (с) фосфодиэстеразой змеиного яда. Направление 1 – электрофорез на ацетилцеллулозе при рН 3,5; 2 – гомохроматография

различных матрицах зависит от соотношения «рейтеративного» синтеза и синтеза на подставляемых олигонуклеотидах.

Таким образом, (С)<sub>3</sub>-концы исследованных олигонуклеотидов могут иметь значение не только для их удержания в РНК-полимеразе (см. выше), но и для способности к подстановке конец в конец с переходом синтеза olygo(A) в olygo(G).

Наконец, следует отметить, что на d(C<sub>3</sub>T<sub>6</sub>C<sub>3</sub>) может осуществляться и синтез poly(G) из [<sup>3</sup>H]GTP (данные не представлены). Учитывая потребность РНК-полимеразы в минимум шестичленных матрицах для синтеза полиривоаденилатов, можно предполагать, что образование poly(G) происходит на сомкнувшихся в молекуле РНК-полимеразы 3'- и 5'-(C<sub>3</sub>)-концах двух молекул d(C<sub>3</sub>T<sub>6</sub>C<sub>3</sub>). Однако это требует дальнейшей проверки.

## Экспериментальная часть

В работе использованы мононуклеотиды производства СКТБ БАВ Главмикробиопрома (Новосибирск), триизопропилбензольсульфохлорид (Merck, ФРГ), DEAE-целлюлоза DE-23 (Whatman, Англия), DEAE-сефадекс А-25 (Pharmacia, Швеция), щелочная фосфатаза *E. coli* (КФ 3.1.3.1), фосфодиэстераза змеиного яда (КФ 3.1.4.1), немеченные NTP (Reanal, Венгрия), [<sup>3</sup>H]ATP приготовлен Н. Ф. Мясоедовым с сотр.

Хроматографию на бумаге марки FN-3 проводили в системах: 96% EtOH – 1 M AcONH<sub>4</sub> (рН 7,5), 7:3; n-PrOH – конц. NH<sub>3</sub> – H<sub>2</sub>O, 11:2:7; изомасляная кислота – конц. NH<sub>3</sub> – H<sub>2</sub>O, 66:1:33; насыщ. (NH<sub>4</sub>)<sub>2</sub>SO<sub>4</sub> – n-PrOH – 1 M AcONa, 80:2:12. Тонкослойную хроматографию (TCX) проводили на пластинках Silufol UV<sub>254</sub> в системах: CH<sub>3</sub>Cl – MeOH, 9:1 и 95:5; CH<sub>3</sub>CN – H<sub>2</sub>O, 85:15.

УФ-спектры олигонуклеотидов снимали на спектрофотометре СФ-16 в водных растворах.

Цианэтильные и ацетильные производные нуклеотидов получали как описано ранее [13]. Ацетильные и цианэтильные группы удаляли действием 1 н. NaOH.

Продукты межнуклеотидных конденсаций выделяли ионообменной хроматографией на колонках с DEAE-целлюлозой или DEAE-сефадексом в хлоридной (при 20°C) или бикарбонатной форме (при 4°C), используя в качестве элюента триэтиламмонийбикарбонат или NaCl в 8 M мочевине. Обессоливание проводили на DEAE-целлюлозе.

Выход вещества определяли в оптических единицах (OE<sub>270</sub>) и рассчитывали в процентах от теоретического по реагенту, взятому в недостатке; при этом коэффициент молярной экстинкции олигонуклеотида принимали равным сумме коэффициентов экстинкций мононуклеотидов (9600 для дРТ и 22 430 для драпС [14]). Анизоильную группу удаляли действием 25% NH<sub>3</sub> (1 мл на 10 OE<sub>270</sub> олигонуклеотида, 15–20 ч при 50°C), 5'-моноцитритильную – действием 80% уксусной кислоты (0,5 мл на 10 OE<sub>270</sub> олигонуклеотида, 2–4 ч, 20°C).

Нуклеотидный состав синтезированных соединений после удаления защитных групп определяли с помощью последовательного проведения гидролиза щелочной фосфатазой и фосфодиэстеразой змеиного яда, как описано ранее [15].

*Фосфодиэфирная межнуклеотидная конденсация.* Смесь 0,4 ммоль Р-компонент (например, в случае синтеза соединения (II)) и 1,3 ммоль OH-компонента упаривали 3 раза с abs. пиридином для удаления следов воды. Прибавляли 3,5 ммоль триизопропилбензольсульфохлорида в 10 мл пиридина, раствор концентрировали до объема 5 мл и оставляли при перемешивании в темноте на 8 ч при 20°C. Реакцию останавливали добавлением к охлажденной реакционной смеси 30% водного пиридина. Щелочная гидролиз реакционной смеси проводили с помощью 1 н. NaOH при

0°С в течение 30 мин. Условия проведения реакции межнуклеотидной конденсации при получении других соединений приведены в табл. 1.

*Выделение и очистка олигонуклеотидов.* Короткие олигонуклеотиды (I) — (IV) и (VI) выделяли из реакционной смеси и очищали с помощью двукратной ионообменной хроматографии на DEAE-сепадексе А-25 в градиенте концентрации триэтиламмонийбикарбоната (TEAB). Тринуклеозид-дифосфат (V), полученный при взаимодействии 1,5 ммоль d(MeOTr)anC [16] и 0,5 ммоль d[panC-anC(Ac)], выделяли экстракционным методом, последовательно проводя четыре экстракции: из раствора смеси в 20 мл 0,1 М TEAB (рН 7,5) эфиром, этилацетатом, 10% бутанолом в этилацетате и 15% бутанолом в хлористом метилене.

Все процессы экстракции контролировали с помощью ТСХ на силуфоле UV<sub>254</sub> в системе ацетонитрил — вода.

Защищенные нонануклеотиды (VII), (VIII) и додекануклеотид (XI) выделяли ионообменной хроматографией на DEAE-целлюлозе в градиенте NaCl при рН 7,5 в 8 М мочевине. После удаления защитных групп эти соединения хроматографировали в тех же условиях и повторно хроматографировали при рН 3,5.

Дефосфорилирование олигонуклеотидов (III) и (X) проводили с помощью щелочной фосфатазы *E. coli*, иммобилизованной на сефарозе 4B.

*Синтез poly(A) РНК-полимеразой E. coli.* РНК-полимеразу выделяли из *E. coli* 3.OSO как описано в работе [17]. Poly(A) синтезировали в пробах объемом 50 мкл, содержащих 0,05 М трис-HCl (рН 8,0), 0,05 М KCl, 0,004 М MnCl<sub>2</sub>, 10 мМ дитиогреин, 13% глицерина, 100 мкг/мл ATP, 1 мкКи [<sup>3</sup>H]ATP (уд. акт. 6 КИ/ммоль), 13 мкг РНК-полимеразы *E. coli*, 0,017 мкМ олигонуклеотид или 0,4 мг/мл T2-ДНК (денатурированной). Пробы инкубировали 20 мин при 37° С. О скорости синтеза poly(A) судили по включению [<sup>3</sup>H]AMP в кислотонерастворимую фракцию. Там, где это указано, в реакцию вводили GTP в эквимольном количестве по отношению к ATP.

Авторы выражают благодарность Е. Ф. Болдыревой (ИБХ им. М. М. Шемякина) за получение пуклеотидных карт, А. Н. Вульфсону (ИБХ им. М. М. Шемякина) за обращенно-фазовую хроматографию олигонуклеотидов, а также Р. Б. Хесину (ИМБ) за обсуждение результатов работы.

#### ЛИТЕРАТУРА

- Chamberlin M., Berg P. (1962) Proc. Nat. Acad. Sci. USA, **48**, 81–94.
- Chamberlin M., Berg P. (1964) J. Mol. Biol., **8**, 708–726.
- Chamberlin M., Ring J. (1973) J. Biol. Chem., **248**, 2235–2244.
- Патрушев Л. И., Бочарова Т. Н., Хесин Р. Б. (1978) Биоорган. химия, **4**, 229–245.
- Patrushev L. I., Bocharova T. N., Khesin R. B. (1978) FEBS Lett., **86**, 108–112.
- Agarwal K. L., Yamazaki A., Cashion P. J., Khorana H. G. (1972) Angew. Chem., **84**, 489–498.
- Agarwal K. L., Berlin Yu. A., Kleid D. G., Smirnov V. D., Khorana H. G. (1975) J. Biol. Chem., **250**, 5563–5573.
- Берлин Ю. А., Ефимов В. А., Колесов М. Н., Коробко В. Г. (1976) Биоорган. химия, **2**, 166–177.
- Clark B. F. C., Jaouni T. M. (1965) J. Biol. Chem., **240**, 3379–3387.
- Денисова Л. Я., Загребельный С. Н., Пустошилова Н. М. (1974) Молекулярн. биология, **8**, 643–649.
- Белова Н. В., Денисова Л. Я., Загребельный С. Н., Пустошилова Н. М., Сайкович Е. Г. (1979) Молекулярн. биология, **13**, 845–853.
- Nishimura S., Jacob T. M., Khorana H. G. (1964) Proc. Nat. Acad. Sci. USA, **52**, 1494–1501.
- Weimann G., Khorana H. G. (1962) J. Amer. Chem. Soc., **84**, 419–430.
- Kumar A., Khorana H. G. (1969) J. Amer. Chem. Soc., **91**, 2743–2749.
- Берлин Ю. А., Дьяков В. Л., Колесов М. Н. (1974) Биохимия, **39**, 747–751.
- Kumar A., Otsuka E., Khorana H. G. (1972) J. Mol. Biol., **72**, 289–307.
- Larionov O. A., Gragerov A. I., Kalyaeva E. S., Nikiforov V. G. (1979) Mol. and Gen. Genet., **176**, 105–111.

Поступила в редакцию  
28.II.1980

SYNTHESIS OF OLIGODEOXYRIBONUCLEOTIDE TEMPLATES FOR INVESTIGATION  
OF POLYADENYLIC ACID SYNTHESIS BY *E. COLI* RNA POLYMERASE

BOCHAROVA T. N., ANDREEVA L. A., LARIONOV O. A.

*Institute of Molecular Genetics, Academy of Sciences of the USSR, Moscow;*  
*Institute for Genetics and Selection of Industrial Microorganisms, Moscow*

The phosphodiester technique was used to synthesize oligonucleotides d(pT-T-T-T-T), d(pT-T-T-T-T-C-G-C), d(C-C-C-T-T-T-T-T-T) and d(C-C-C-T-T-T-T-T-T-C-C-C). Spectral and chromatographic data and those of complete exonuclease hydrolysis were used to characterize the synthesized compounds, whose primary structure was confirmed by a finger-print technique. These oligonucleotides, along with the first two of them dephosphorylated at 5'-position, were used as templates in a study of polyadenylic acid synthesis by *E. coli* RNA polymerase.

---